

Całkowe przekształcenie Fouriera

Mateusz Wójcik, 14.11.2024

Całkowe przekształcenie Fouriera jest jednym z fundamentalnych narzędzi matematycznych w analizie sygnałów, fizyce, inżynierii i wielu innych dziedzinach nauki. Umożliwia ono przejście między reprezentacją sygnału w dziedzinie czasu, a jego reprezentacją w dziedzinie częstotliwości. W trakcie tych zaję laboratoryjnych celem jest zapoznanie się z podstawowymi zasadami użycia oraz analizowania wyników całkowego przekształcenia Fouriera. Dodatkowo poruszono również tematy modulacji i "okienkowania".

```
clear all; close all;
```

```
syms t x f0 w w0 X_FT

f0 = 100; %Hz
w0 = 2*pi*f0;

BND_t = [-10/f0 10/f0]; %20 okresow
t_SMP = [BND_t(1):1/(10*f0):BND_t(2) ];

BND_w = [-3*w0 3*w0];
w_SMP = [BND_w(1):w0/10:BND_w(2) ];

x = sin(w0*t);
X_FT = fourier(x);
```

Zadanie 1

Pierwsze zadanie polegało na wykorzystaniu podanego kodu w celu narysowania wykresów dla sygnału sinusoidalnego i jego transformaty Laplace'a

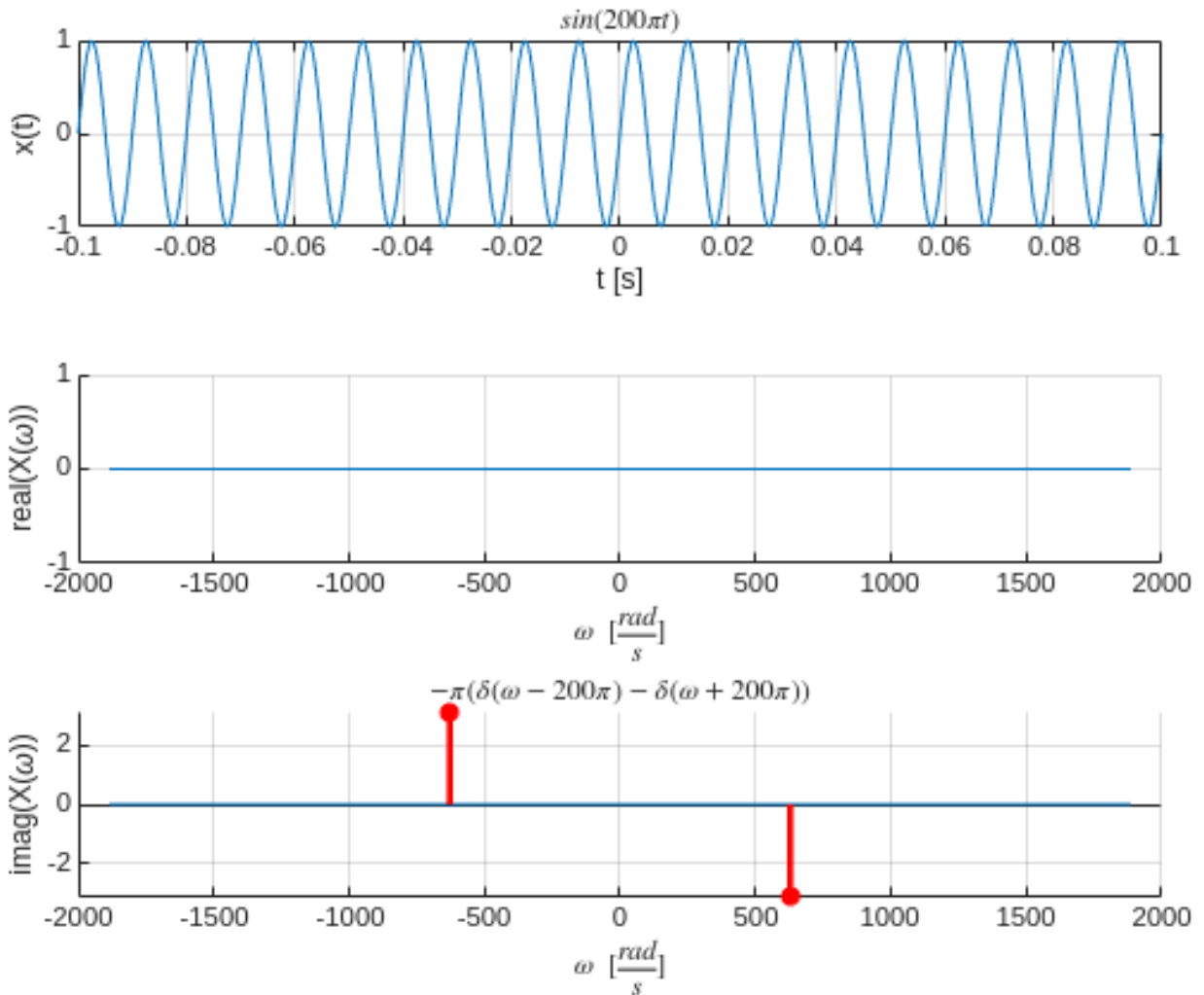
```
figure(Position=[100 100 1000 800])

subplot(3,1,1);
fplot(x, BND_t);
title("$sin(200 \pi t)$",Interpreter="latex", FontWeight="bold")
ylabel('x(t)');
xlabel('t [s]');
grid on

subplot(3,1,2); ylabel('real(X(\omega))'); hold on
fplot(real(X_FT), BND_w); hold on; grid on;
xlabel("$\omega \ [\frac{rad}{s}]$", Interpreter = "latex")

subplot(3,1,3); ylabel('imag(X(\omega))'); hold on
fplot(imag(X_FT), BND_w);
title("$-\pi(\ \delta(\omega - 200\pi) - \delta(\omega + 200\pi))$ ",Interpreter="latex", FontWeight="bold")
v_num = subs(imag(X_FT), w, w_SMP);
grid on
n = find( abs(v_num) == inf ); % plot dirac (inf)
```

```
stem(w_SMP(n),pi*sign(v_num(n)),'r*', 'LineWidth', 2);
xlabel("\omega \ [\frac{rad}{s}]", Interpreter = "latex")
hold off
```



Zadanie 2

Podczas wykonywania tego ćwiczenia należy zapoznać się w praktyce z transformatami Fouriera różnych podstawowych funkcji takich jak cosinus, funkcja skokowa, funkcja stała, puls prostokątny czy puls trójkątny. Wszystkie wyniki przedstawiono na stosownie opisanych wykresach.

Każdą sekcję rozpoczyna się od zdefiniowania funkcji i wyznaczenia jej transformaty Fouriera. Następnie, krokiem jest wykreślenie wykresów. Te kroki zastosowano dla wszystkich sygnałów:

1. $x(t) = \cos(\omega_0 t)$

```
x_cos = cos(w0*t)
```

```
x_cos = cos(200*pi*t)
```

```
X_cos = fourier(x_cos)
```

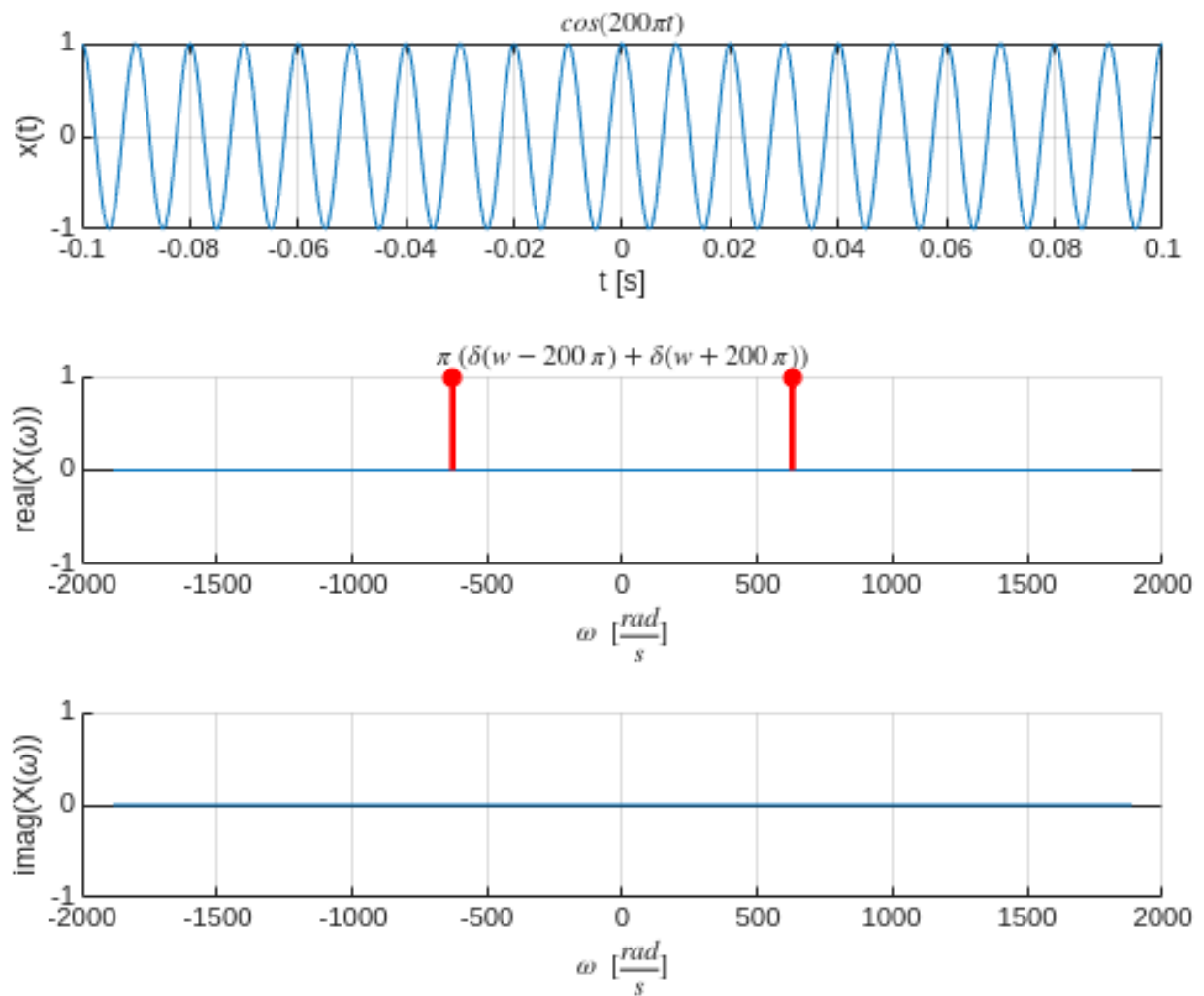
```
x_cos =  $\pi (\delta(w - 200\pi) + \delta(w + 200\pi))$ 
```

```
figure(Position=[100 100 1000 800])
```

```
subplot(3,1,1);  
fplot(x_cos, BND_t);  
title("$\cos(200 \pi t)$",Interpreter="latex", FontWeight="bold")  
ylabel('x(t)');  
xlabel('t [s]');  
grid on
```

```
subplot(3,1,2);  
ylabel('real(X(\omega))');  
hold on  
fplot(real(X_cos), BND_w);  
grid on;  
title("$\pi \cdot \left( \delta(w-200\pi) + \delta(w+200\pi) \right)$",Interpreter="latex",  
FontWeight="bold")  
v_num = subs(real(X_cos), w, w_SMP);  
n = find( abs(v_num) == inf); % plot dirac (inf)  
stem(w_SMP(n),sign(v_num(n)), 'r*', 'LineWidth', 2);  
xlabel("$\omega \ [\frac{rad}{s}]$", Interpreter = "latex")  
axis([-2000, 2000 -1 1])  
hold off
```

```
subplot(3,1,3); ylabel('imag(X(\omega))'); hold on  
fplot(imag(X_cos), BND_w);  
v_num = subs(imag(X_cos), w, w_SMP);  
grid on  
n = find( abs(v_num) == inf ); % plot dirac (inf)  
stem(w_SMP(n),pi*sign(v_num(n)), 'r*', 'LineWidth', 2);  
xlabel("$\omega \ [\frac{rad}{s}]$", Interpreter = "latex")  
hold off
```



2. $x(t) = 10$

```
x_const = sym(10)
```

```
x_const = 10
```

```
X_const = fourier(x_const)
```

```
x_const = 20 * pi * delta(w)
```

```
figure(Position=[100 100 1000 800])
```

```
subplot(3,1,1);
fplot(x_const, BND_t);
title('$x(t) = 10$',Interpreter="latex", FontWeight="bold")
ylabel('x(t)');
xlabel('t [s]');
grid on
```

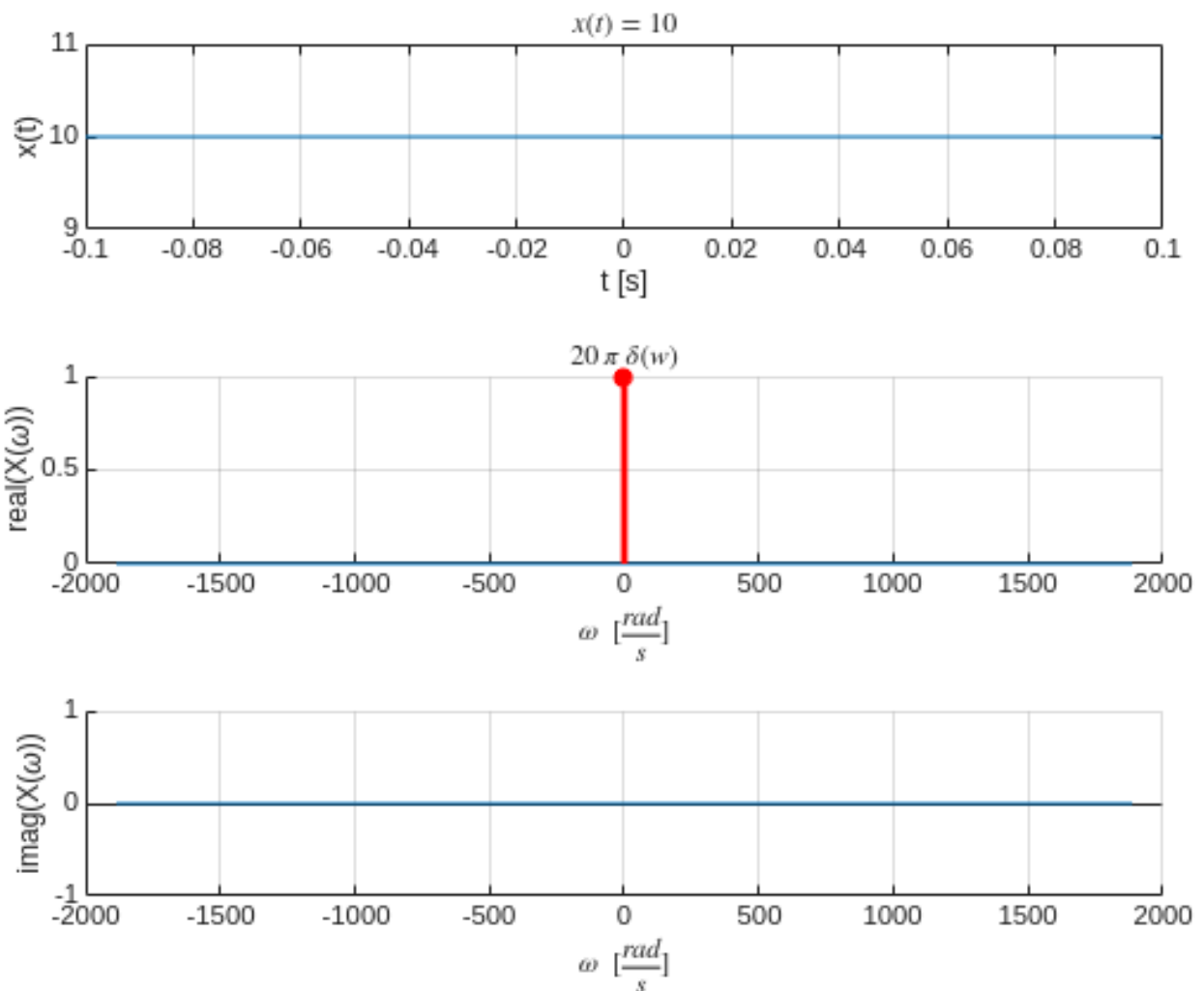
```
subplot(3,1,2); ylabel('real(X(\omega))'); hold on
```

```

title('$20\backslash,\pi \backslash,\{\backslashdelta \}\backslashleft(w\right)$',Interpreter="latex",
FontWeight="bold")
fplot(real(X_const), BND_w);
grid on;
v_num = subs(real(X_const), w, w_SMP);
n = find( abs(v_num) == inf); % plot dirac (inf)
stem(w_SMP(n),sign(v_num(n)),'r*', 'LineWidth', 2);
xlabel('$\omega \backslash [\backslashfrac{rad}\{s\}]$', Interpreter = "latex")

subplot(3,1,3); ylabel('imag(X(\omega))'); hold on
fplot(imag(X_const), BND_w);
v_num = subs(imag(X_const), w, w_SMP);
grid on
n = find( abs(v_num) == inf ); % plot dirac (inf)
stem(w_SMP(n),pi*sign(v_num(n)),'r*', 'LineWidth', 2);
xlabel('$\omega \backslash [\backslashfrac{rad}\{s\}]$', Interpreter = "latex")
hold off

```



3. $x(t) = 1(t)$

```
x_step = heaviside(t)
```

```
x_step = heaviside(t)
```

```
X_step = fourier(x_step)
```

```
X_step =
```

$$\pi \delta(w) - \frac{i}{w}$$

```
figure(Position=[100 100 1000 800])
```

```
subplot(3,1,1);
```

```
fplot(x_step, BND_t);
```

```
title("$\mathbf{x(t) = 1(t)}$",Interpreter="latex", FontWeight="bold")
```

```
ylabel('x(t)');
```

```
xlabel('t [s]');
```

```
grid on
```

```
subplot(3,1,2); ylabel('real(X(\omega))'); hold on
```

```
fplot(real(X_step), BND_w);
```

```
grid on;
```

```
title("$\pi \delta(\omega)$", Interpreter="latex")
```

```
v_num = subs(real(X_step + 1i/w), w, w_SMP);
```

```
n = find( abs(v_num) == inf); % plot dirac (inf)
```

```
stem(w_SMP(n),sign(v_num(n)), 'r*', 'LineWidth', 2);
```

```
xlabel("$\omega \ [\frac{\text{rad}}{\text{s}}]$", Interpreter = "latex")
```

```
axis([-2000 2000 -1 1])
```

```
subplot(3,1,3); ylabel('imag(X(\omega))'); hold on
```

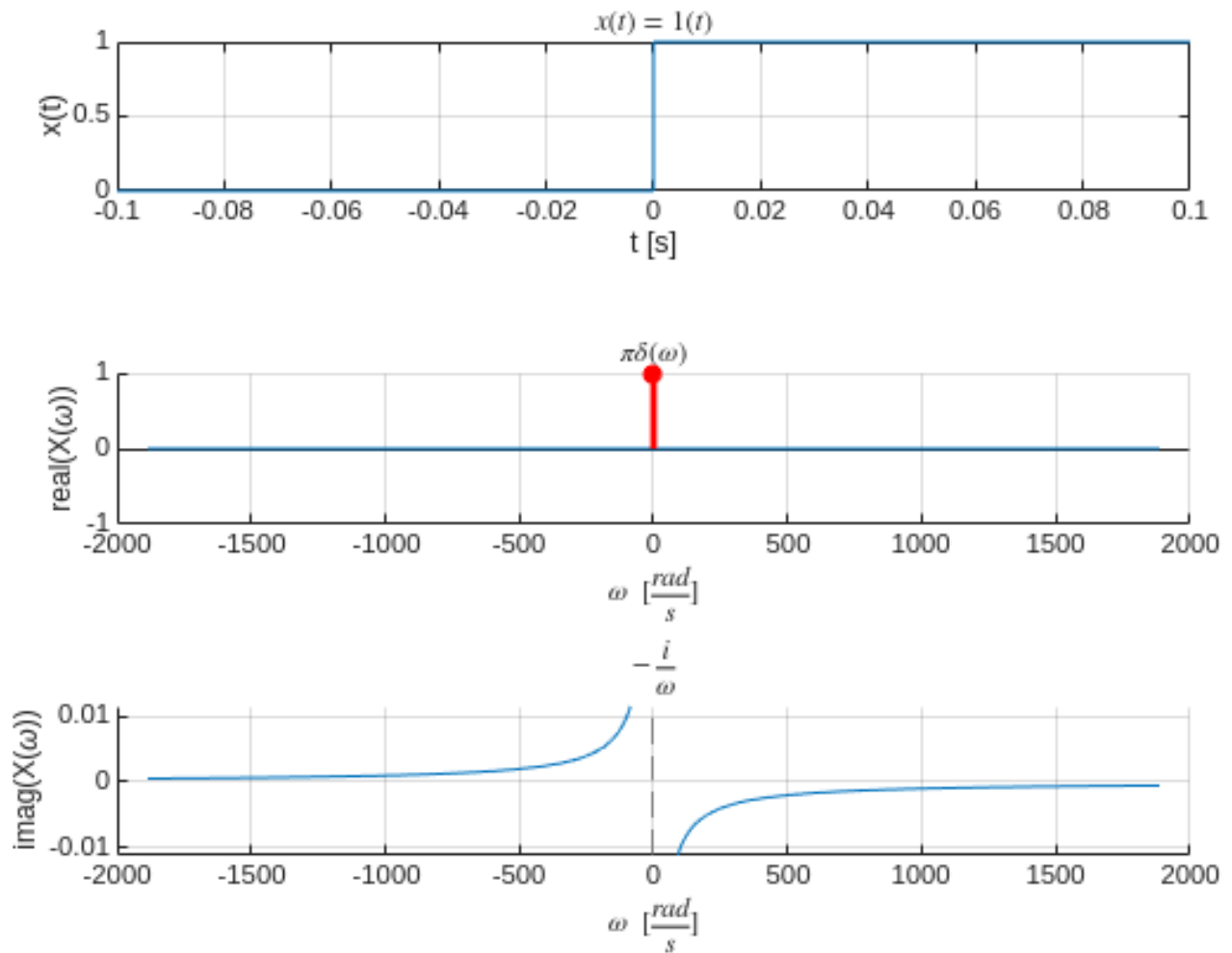
```
fplot(imag(X_step), BND_w);
```

```
title("$-\frac{i}{\omega}$",Interpreter="latex", FontWeight="bold")
```

```
grid on
```

```
xlabel("$\omega \ [\frac{\text{rad}}{\text{s}}]$", Interpreter = "latex")
```

```
hold off
```



$$4. f(t) = \begin{cases} 1 & \text{dla } \frac{-T_0}{2} \leq t \leq \frac{T_0}{2} \\ 0 & \text{dla } \frac{-T_0}{2} > t \wedge t > \frac{T_0}{2} \end{cases}$$

```
x_rect_pulse = rectangularPulse(-1/(f0), 1/(f0), t)
```

```
x_rect_pulse =  
rectangularPulse(-1/100, 1/100, t)
```

```
X_rect_pulse = simplify(fourier(x_rect_pulse))
```

```
X_rect_pulse =
```

$$\frac{2 \sin\left(\frac{w}{100}\right)}{w}$$

```
figure(Position=[100 100 1000 800])  
subplot(3,1,1);  
fplot(x_rect_pulse, BND_t);
```

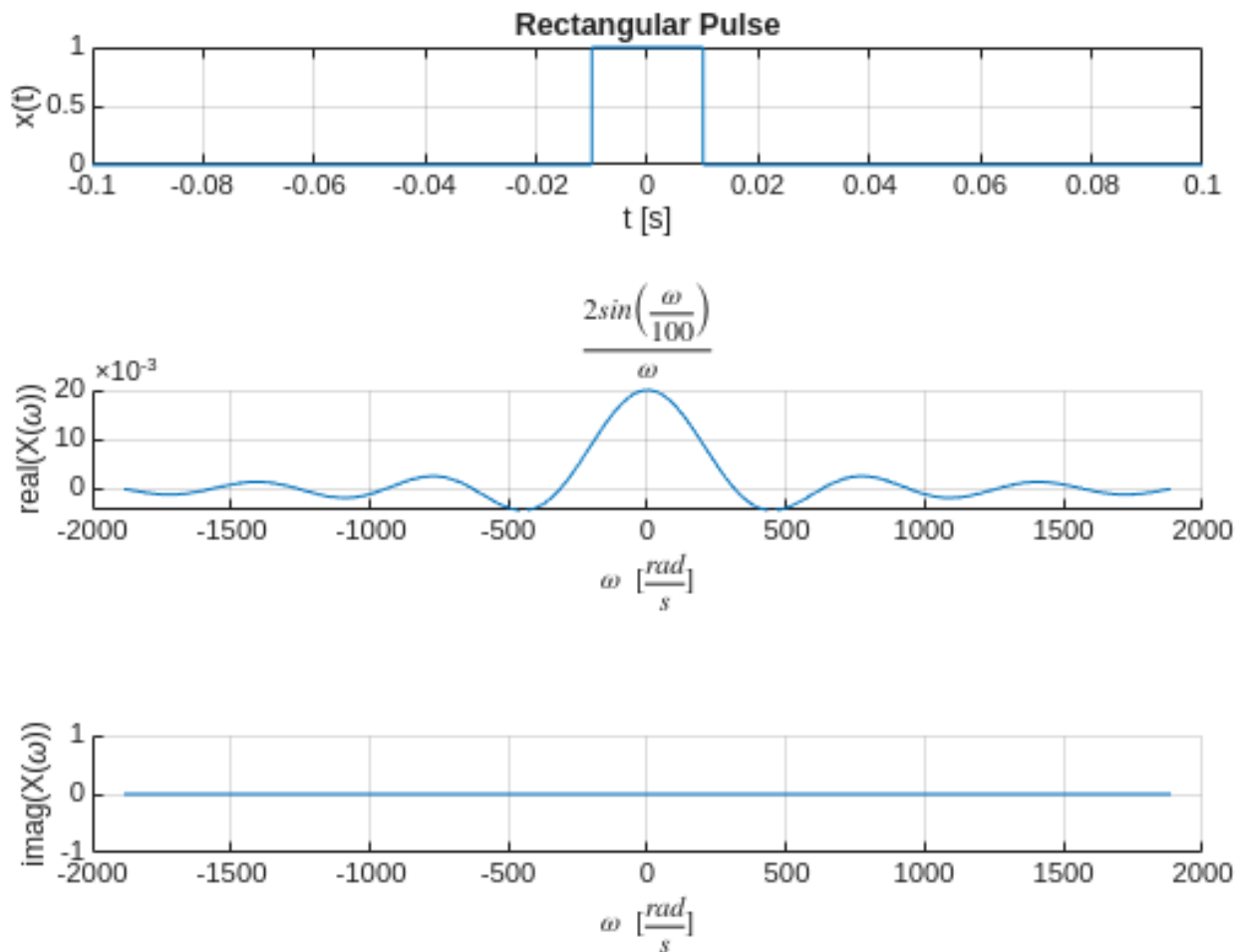
```

title("Rectangular Pulse", FontWeight="bold")
ylabel('x(t)');
xlabel('t [s]');
grid on

subplot(3,1,2); ylabel('real(X(\omega))'); hold on
fplot(real(X_rect_pulse), BND_w);
grid on;
title("$\frac{2 \sin \left( \frac{\omega}{100} \right)}{\omega}$",
Interpreter="latex")
xlabel("$\omega \ \ [ \frac{rad}{s} ]$", Interpreter = "latex")

subplot(3,1,3); ylabel('imag(X(\omega))'); hold on
fplot(imag(X_rect_pulse), BND_w);
xlabel("$\omega \ \ [ \frac{rad}{s} ]$", Interpreter = "latex")
grid on

```



$$5. f(t) = \begin{cases} \frac{2x+T_0}{T_0} & \text{dla } \frac{-T_0}{2} \leq t < 0 \\ \frac{T_0-2x}{T_0} & \text{dla } 0 \leq t \leq 0\frac{T_0}{2} \\ 0 & \text{dla } \frac{-T_0}{2} > t \wedge t > \frac{T_0}{2} \end{cases}$$

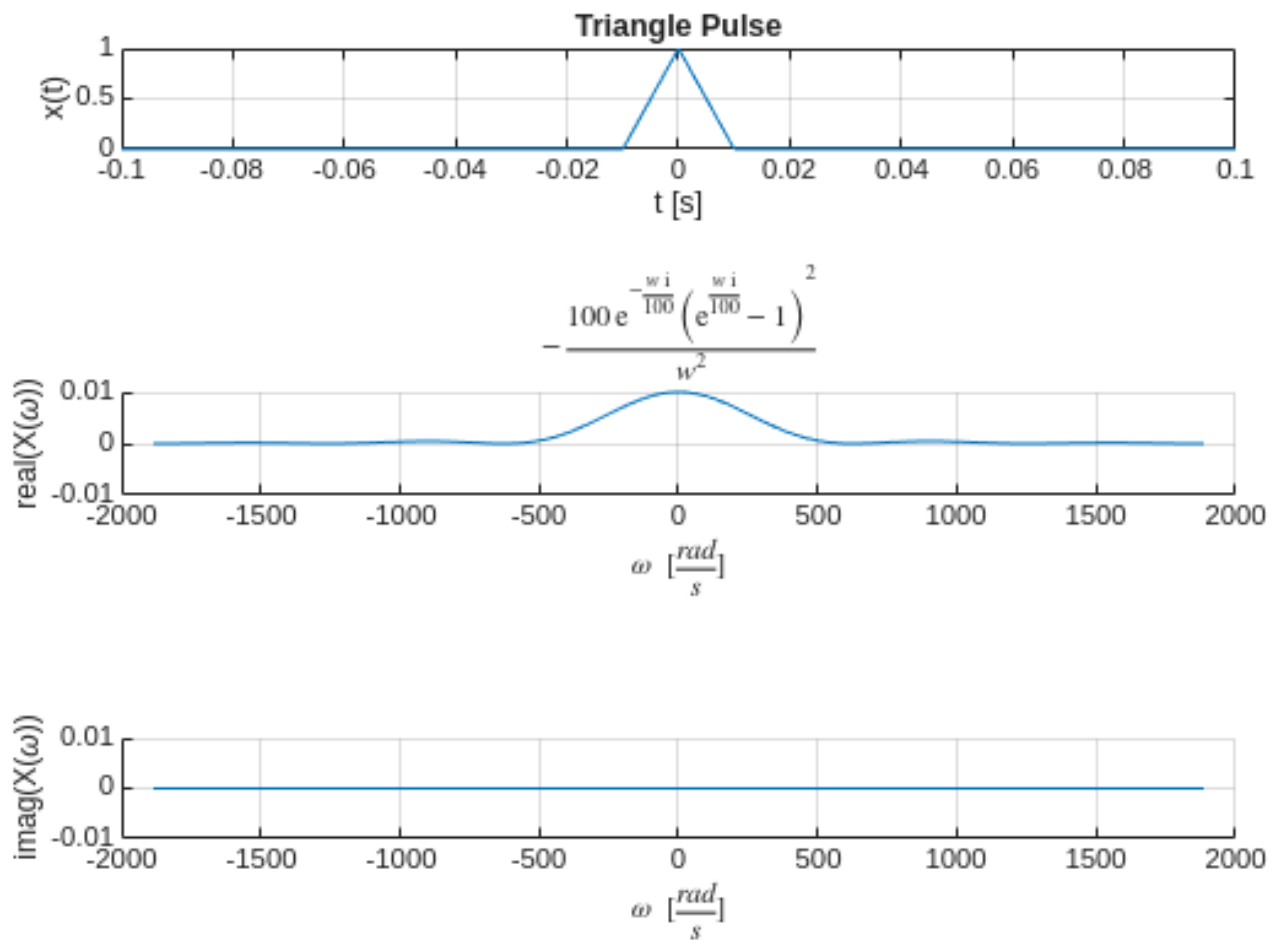
```
x_triangle_pulse = triangularPulse(-1/f0,0, 1/f0,t)
```

```
x_triangle_pulse =  
triangularPulse(-1/100,0,1/100,t)
```

```
X_triangle_pulse = fourier(x_triangle_pulse)
```

```
X_triangle_pulse =  
- \frac{100 e^{-\frac{wi}{100}} \left( e^{\frac{wi}{100}} - 1 \right)^2}{w^2}
```

```
figure(Position=[100 100 1000 800])  
subplot(3,1,1);  
fplot(x_triangle_pulse, BND_t);  
title("Triangle Pulse", FontWeight="bold")  
ylabel('x(t)');  
grid on  
xlabel('t [s]');  
  
subplot(3,1,2); ylabel('real(X(\omega))'); hold on  
fplot(real(X_triangle_pulse), BND_w);  
grid on;  
title("$-\frac{100\mathrm{e}^{-\frac{w\mathrm{i}}{100}} \, \left( \mathrm{e}^{\frac{w\mathrm{i}}{100}} - 1 \right)^2}{w^2}$",  
Interpreter="latex")  
axis([-2000 2000 -0.01 0.01])  
xlabel("$\omega \, [\frac{\text{rad}}{\text{s}}]$", Interpreter = "latex")  
  
subplot(3,1,3); ylabel('imag(X(\omega))'); hold on  
fplot(imag(X_triangle_pulse), BND_w);  
% title("$-\frac{i}{\omega}$",Interpreter="latex", FontWeight="bold")  
axis([-2000 2000 -0.01 0.01])  
xlabel("$\omega \, [\frac{\text{rad}}{\text{s}}]$", Interpreter = "latex")  
grid on
```



Zadanie domowe 1

W celu wykonania tego polecenia należy stworzyć wykresy gęstości widmowej amplitudy oraz fazy dla funkcji cos i sin. Wyniki przedstawiono poniżej:

1. $\sin(\omega_0 t)$

```
x_sin = sin(w0 * t)
```

```
x_sin = sin(200 * pi * t)
```

```
X_sin = fourier(x_sin)
```

```
x_sin = -pi * (delta(w - 200 * pi) - delta(w + 200 * pi)) * i
```

```
figure(Position=[100 100 1000 800])
subplot(3,1,1);
fplot(x_sin, BND_t);
title("$\sin(\omega_0 t)$",Interpreter="latex", FontWeight="bold")
```

```

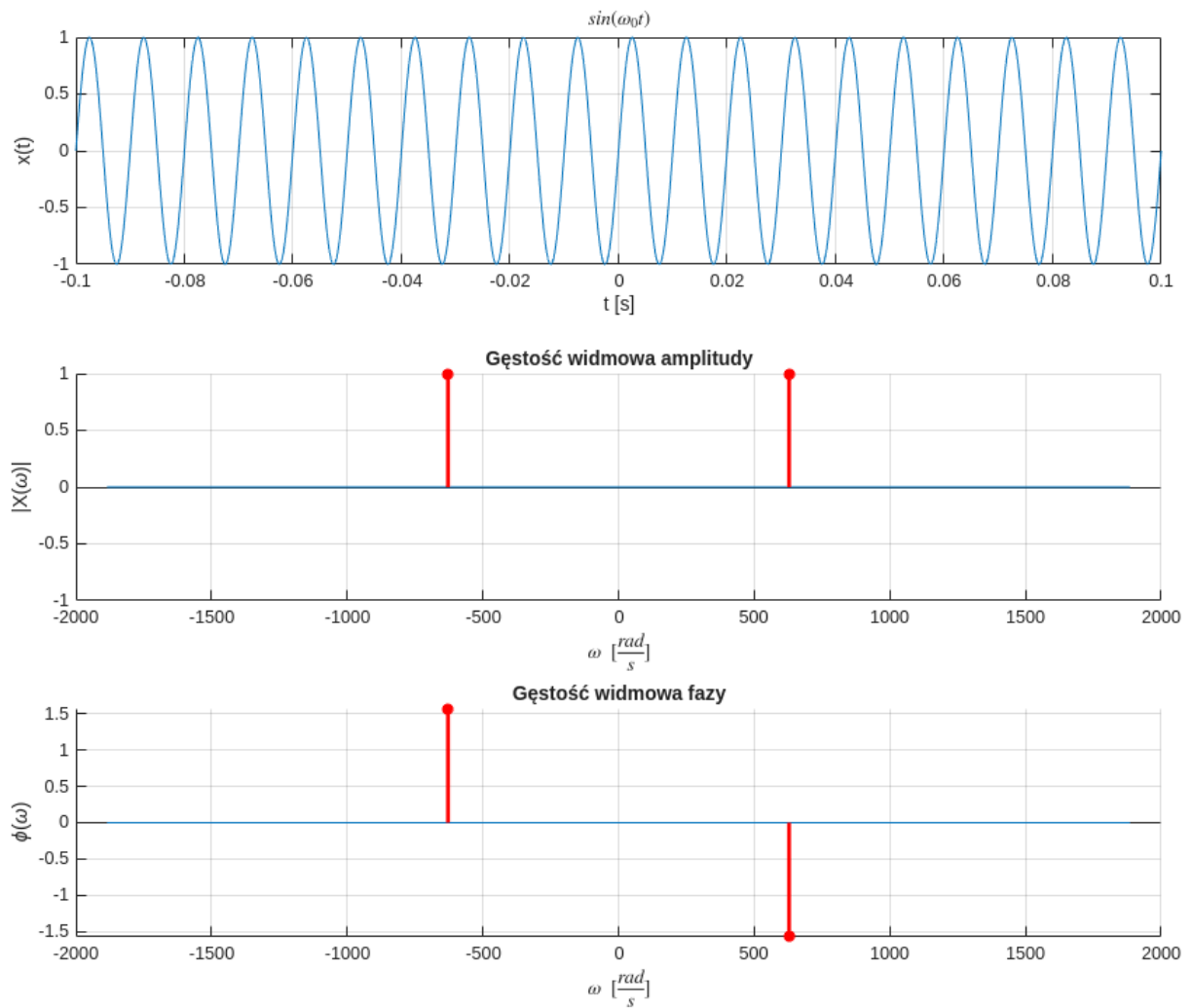
ylabel('x(t)');
xlabel('t [s]')
grid on

subplot(3,1,2); ylabel('|X(\omega)|'); hold on
fplot(abs(X_sin), BND_w);
grid on;
title("G sto   widmowa amplitudy")
axis([-2000 2000 -0.01 0.01])
v_num = subs(abs(X_sin), w, w_SMP);
n = find( abs(v_num) == inf); % plot dirac (inf)
stem(w_SMP(n),sign(v_num(n)), 'r*', 'LineWidth', 2);
axis([-2000 2000 -1 1])
xlabel("$\omega \ [\frac{rad}{s}]$", Interpreter = "latex")

subplot(3,1,3);
ylabel('\phi(\omega)');
hold on
fplot(angle(X_sin), BND_w);
title("G sto   widmowa fazy")

v_num = subs(angle(X_sin), w, w_SMP);
n = find( abs(v_num) == pi/2); % plot dirac (inf)
stem(w_SMP(n),v_num(n), 'r*', 'LineWidth', 2);
axis([-2000 2000 -pi/2 pi/2])
xlabel("$\omega \ [\frac{rad}{s}]$", Interpreter = "latex")
grid on
hold off

```



2. $\cos(\omega_0 t)$

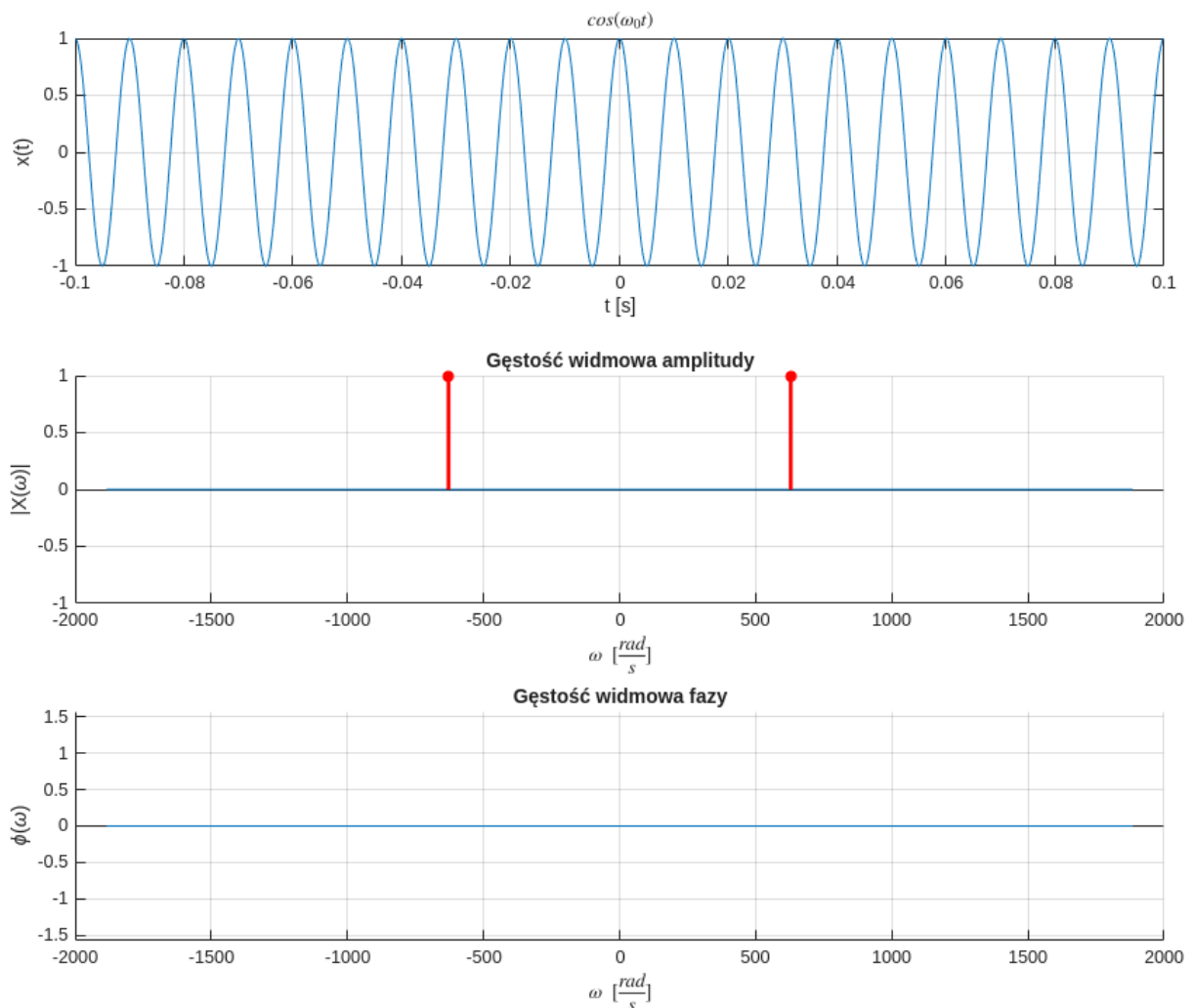
```
figure(Position=[100 100 1000 800])
subplot(3,1,1);
fplot(x_cos, BND_t);
title("$\cos(\omega_0 t)$",Interpreter="latex", FontWeight="bold")
ylabel('x(t)');
xlabel('t [s]')
grid on

subplot(3,1,2); ylabel('|X(\omega)|'); hold on
fplot(abs(X_cos), BND_w);
grid on;
title("Gęstość widmowa amplitudy")
axis([-2000 2000 -0.01 0.01])
v_num = subs(abs(X_cos), w, w_SMP);
n = find( abs(v_num) == inf); % plot dirac (inf)
stem(w_SMP(n),sign(v_num(n)), 'r*', 'LineWidth', 2);
xlabel("$\omega \ [\frac{rad}{s}]$", Interpreter = "latex")
axis([-2000 2000 -1 1])
```

```

subplot(3,1,3);
ylabel('\phi(\omega)');
hold on
fplot(angle(X_cos), BND_w);
title("G sto widmowa fazy")
v_num = subs(angle(X_cos), w, w_SMP);
n = find( abs(v_num) == pi/2); % plot dirac (inf)
stem(w_SMP(n),v_num(n),'r*', 'LineWidth', 2);
axis([-2000 2000 -pi/2 pi/2])
xlabel("$\omega \ [\frac{rad}{s}]$", Interpreter = "latex")
grid on
hold off

```



Porównuj c wykresy rzuca si w oczy, e g sto widmowa amplitudy jest dla obu funkcji taka sama. Nie jest to nic dziwnego, poniewa obie funkcje posiadaj tak sam pulsacj ω_0 . Różnica pojawiła si natomiast przy porównaniu wykresów przedstawiaj cych g sto widmow fazy. Dla funkcji $\cos(\omega_0 t)$ nie ma adnych punktów, natomiast dla funkcji $\sin(\omega_0 t)$ pojawia si przesuni cie fazowe o $k \ t \ \pi/2$. Mo na zatem zauwa y , e jest to przesuni cie jakie z definicji wyst puje pomi dzy funkcjami sin i cos.

Zadanie 3

W tym wiczeniu głównym celem jest zapoznanie się z tematem modulacji sygnału. Modulacja sygnału to technika, która polega na zmianie parametrów fali nośnej w celu przenoszenia informacji. Najpopularniejsze typy modulacji to: Modulacja Amplitudy (AM), Częstotliwości (FM) i Fazy (PM).

Modulacje możemy spotkać na co dzień, w aplikacjach telekomunikacyjnych, które pozwalają na przesyłanie danych na duże odległości przy zachowaniu odpowiednio wysokiej jakości sygnału. Modulacje możemy również spotkać w radiu, telewizji czy systemach satelitarnych. Można byobyś dziś, że radio i telewizja są już przestarzałe i modulacja staje się niepotrzebna, otóż nic bardziej mylnego. Modulacja jest również wszechobecna w systemach bezprzewodowych sieci Wi-Fi, czy w komunikacji Bluetooth, z których tak bardzo często korzystamy. Oprócz tego wiele aplikacji Internetu Rzeczy bazuje na komunikacji między jednostkami, używając technik modulacji, do przesyłu danych na warstwie fizycznej.

```
m = 0.5;
scale = 10;
y = (1 + m*sin(w0/scale*t)) * cos(w0*t)
```

y =

$$\cos(200\pi t) \left(\frac{\sin(20\pi t)}{2} + 1 \right)$$

```
Y = fourier(y)
```

Y =

$$\pi (\delta(\omega - 200\pi) + \delta(\omega + 200\pi)) + \frac{\pi (\delta(\omega - 180\pi) - \delta(\omega + 180\pi))i}{4} - \frac{\pi (\delta(\omega - 220\pi) - \delta(\omega + 220\pi))}{4}$$

Tworzenie wykresu przedstawiającego modulowaną funkcję:

```
figure(Position=[100 100 1000 600])
subplot(3,1,1);
fplot(y, BND_t);
title("Sygnał modulowany", FontWeight="bold")
ylabel('x(t)');
xlabel('t [s]')
grid on

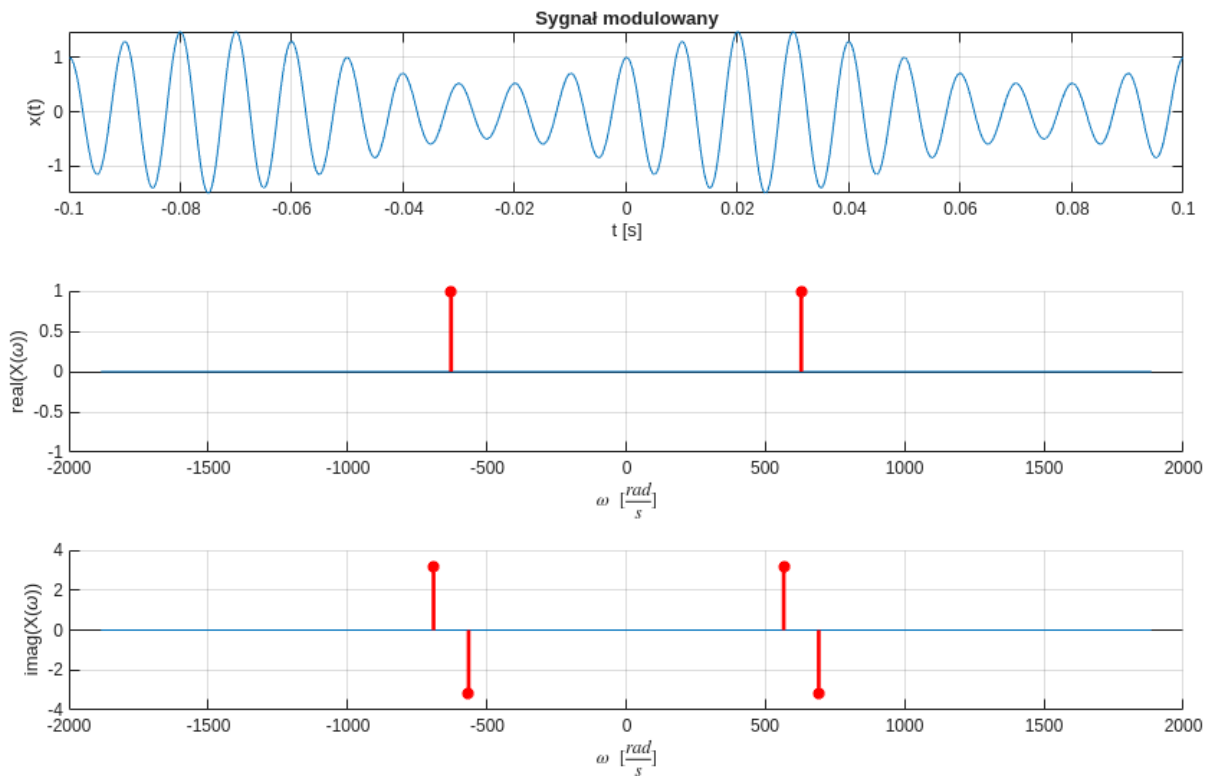
subplot(3,1,2); ylabel('real(X(\omega))'); hold on
fplot(real(Y), BND_w);
grid on;
v_num = subs(real(Y), w, w_SMP);
n = find( abs(v_num) == inf); % plot dirac (inf)
stem(w_SMP(n),sign(v_num(n)), 'r*', 'LineWidth', 2);
axis([-2000, 2000 -1 1])
xlabel("$\omega \setminus [\frac{\text{rad}}{\text{s}}]$", Interpreter = "latex")
hold off

subplot(3,1,3); ylabel('imag(X(\omega))'); hold on
fplot(imag(Y), BND_w);
% title("$-\frac{i}{\omega}$",Interpreter="latex", FontWeight="bold")
v_num = subs(imag(Y), w, w_SMP);
grid on
```

```

n = find( abs(v_num) == inf ); % plot dirac (inf)
stem(w_SMP(n),pi*sign(v_num(n)), 'r*', 'LineWidth', 2);
xlabel("\$\omega \ \ [\frac{rad}{s}]\$", Interpreter = "latex")
hold off

```



Zadanie domowe 2

Przedstawiono poniżej wyniki obliczania mocy dla funkcji nośnej - sygnału $\cos(\omega_0 t)$ oraz sygnału modulowanego.

```
power_cos = f0 * int(x_cos^2, [-1/(f0*2), 1/(f0*2)])
```

power_cos =

$$\frac{1}{2}$$

```
power_modulated = f0/10 * int(y^2, [-10/(f0*2), 10/(f0*2)])
```

power_modulated =

$$\frac{9}{16}$$

Jak łatwo zauważyć sygnały te różnią się od siebie. Kluczowym parametrem w tej różnicy stanowi parametr m - głębokość modulacji. Otóż zależność mocy sygnału nośnego, a sygnału zmodulowanego przedstawia zależność:

$$P_{mod} = P_{nos} \left(1 + \frac{m^2}{2}\right)$$

Zadanie 4

To polecenie skupiło się na przedstawieniu wpływu "okienkowania" na otrzymywany sygnał. "Okienkowanie" jest bardzo pożyteczne w celu dokonywania analizy wybranego fragmentu z dłuższego sygnału. Aby jednak dawało określone rezultaty, trzeba dobrać odpowiednią funkcję okna. Istnieje wiele różnych funkcji, takich jak okno Hanninga, Hamminga, Blackmanna, ale również "okienkowanie" pulsem prostokątnym, trójkątnym, czy krzywą Gaussa. W tym ćwiczeniu przedstawiono wygląd transformat po zastosowaniu trzech ostatnich funkcji okna.

Całość rozpocznie się od zdefiniowania odpowiednich funkcji i transformat.

```
rect_window = rectangularPulse(-6.5/(2*f0), 6.5/(2*f0), t);
triang_window = triangularPulse(-6.5/(2*f0), 0, 6.5/(2*f0), t);

c = 6.5/(4*f0);
gaus_window = exp(-(t^2)/(2*c^2));

signal = cos(w0*t);
signal_rect = signal * rect_window;
signal_triang = signal * triang_window;
signal_gaus = signal * gaus_window;

rect_FT = fourier(signal_rect);
triang_FT = fourier(signal_triang);
gauss_FT = fourier(signal_gaus);
```

Następnie przystąpiono do utworzenia odpowiednich wykresów dla wszystkich sygnałów:

```
figure(Position=[100 100 1000 800])

subplot(3,1,1);
fplot(x_cos, BND_t);
title("$\cos(200 \pi t)$",Interpreter="latex", FontWeight="bold")
ylabel('x(t)');
xlabel('t [s]')
grid on

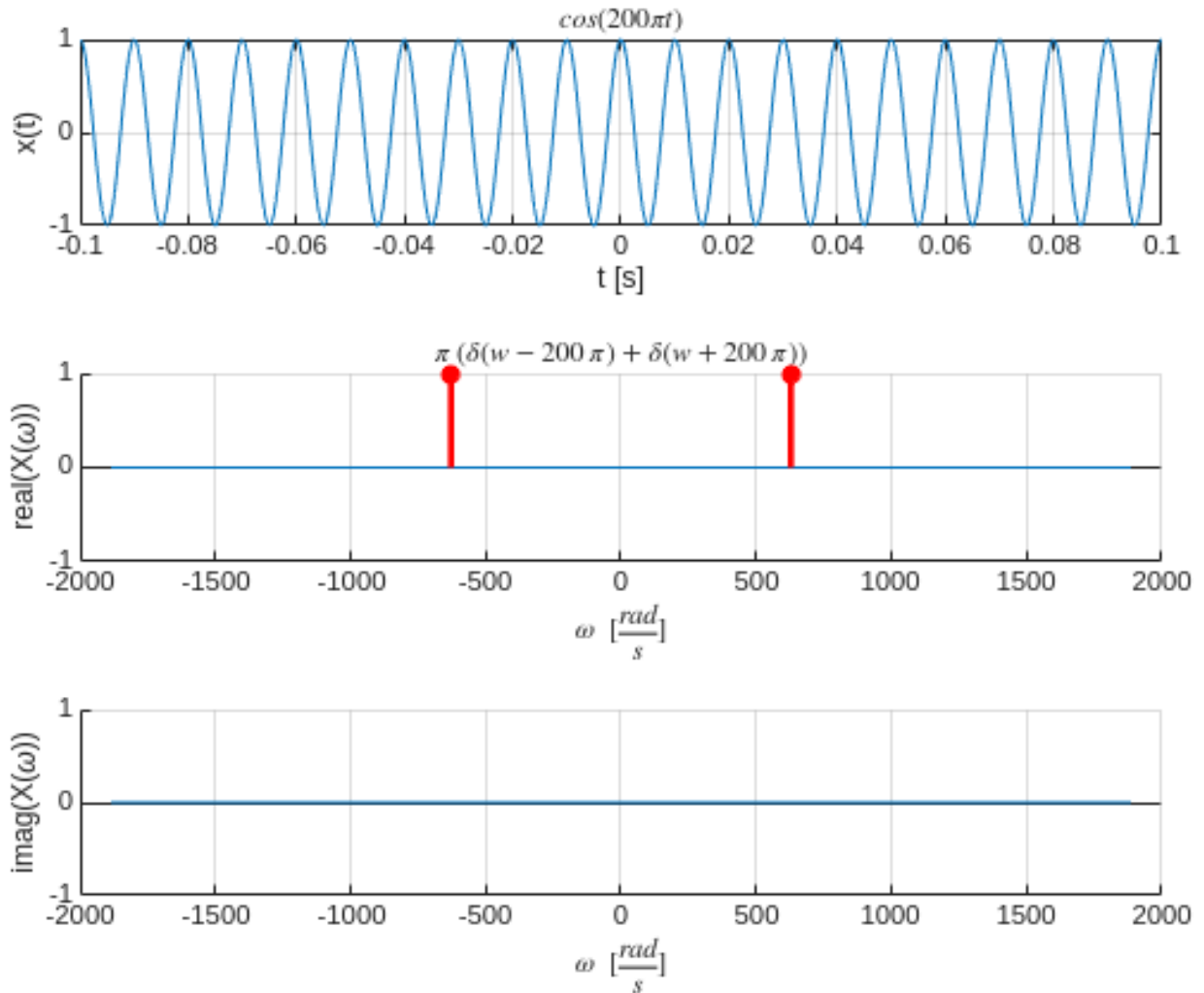
subplot(3,1,2);
ylabel('real(X(\omega))');
hold on
fplot(real(X_cos), BND_w);
grid on;
title("$\pi \cdot \left( \left( \frac{\Delta}{w-200} \right) \pi \right) + \left( \frac{\Delta}{w+200} \right) \pi$",Interpreter="latex",
FontWeight="bold")
v_num = subs(real(X_cos), w, w_SMP);
n = find( abs(v_num) == inf); % plot dirac (inf)
stem(w_SMP(n), sign(v_num(n)), 'r*', 'LineWidth', 2);
xlabel("$\omega \cdot \left[ \frac{\text{rad}}{\text{s}} \right]$ ", Interpreter = "latex")
axis([-2000, 2000 -1 1])
hold off
```



```

subplot(3,1,3); ylabel('imag(X(\omega))'); hold on
fplot(imag(X_cos), BND_w);
v_num = subs(imag(X_cos), w, w_SMP);
grid on
n = find( abs(v_num) == inf ); % plot dirac (inf)
stem(w_SMP(n),pi*sign(v_num(n)),'r*', 'LineWidth', 2);
xlabel('$\omega \ [\frac{rad}{s}]$', Interpreter = "latex")
hold off

```



```

figure(Position=[100 100 1000 800])

subplot(3,1,1);
fplot(signal_rect, BND_t);
title('$\cos(200 \ \pi \ t) * \text{rectangularPulse}$',Interpreter="latex",
FontWeight="bold")
ylabel('x(t)');
xlabel('t [s]')
grid on

subplot(3,1,2);

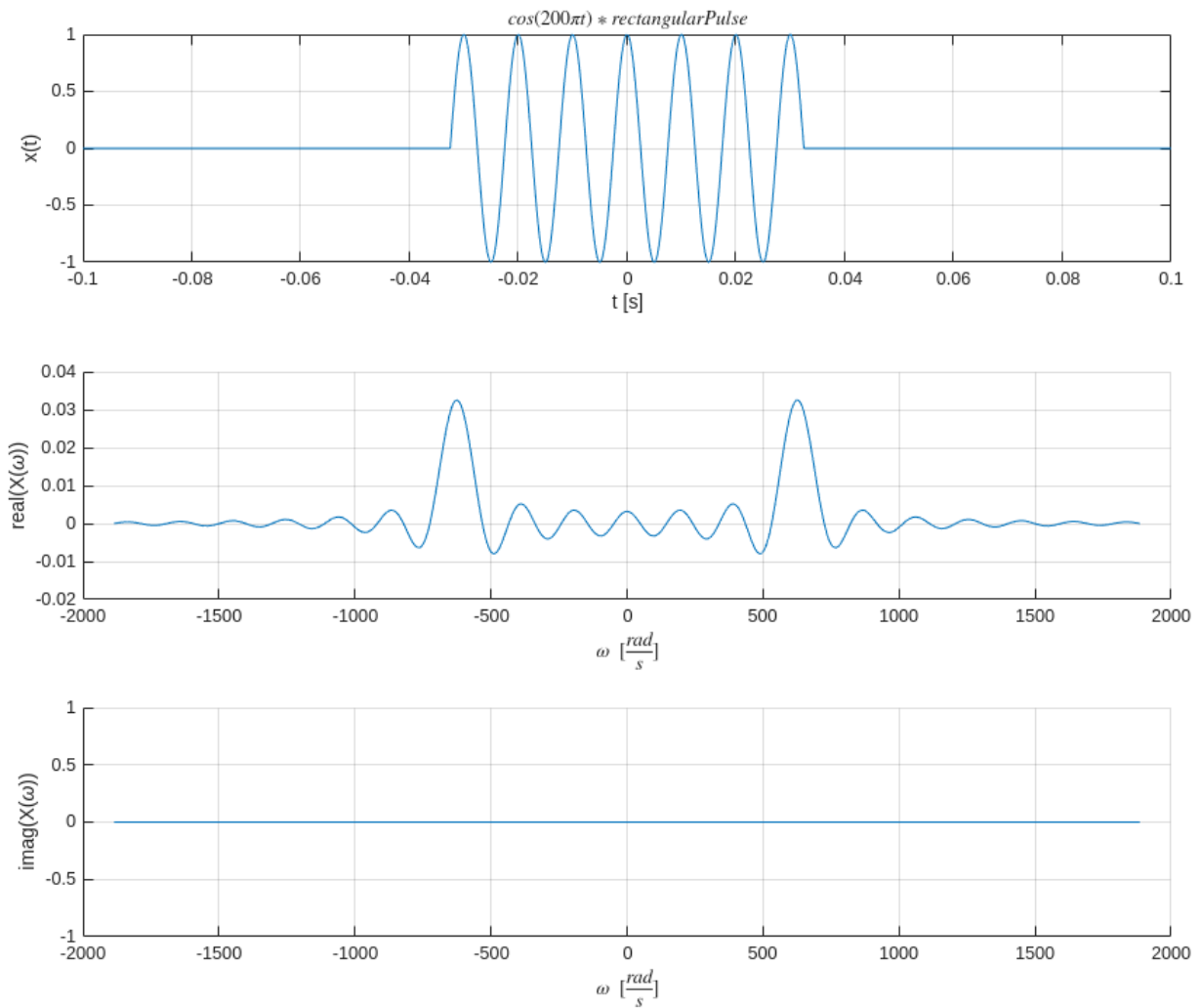
```

```

ylabel('real(X(\omega))');
hold on
fplot(real(rect_FT), BND_w);
grid on;
axis([-2000 2000 -0.02 0.04])
xlabel("$\omega \ [\frac{rad}{s}]$", Interpreter = "latex")

subplot(3,1,3); ylabel('imag(X(\omega))'); hold on
fplot(imag(rect_FT), BND_w);
xlabel("$\omega \ [\frac{rad}{s}]$", Interpreter = "latex")
grid on

```



```

figure(Position=[100 100 1000 800])

subplot(3,1,1);
fplot(signal_triangu, BND_t);
title("$\cos(200 \ \pi \ t) * \text{triangularPulse}$",Interpreter="latex",
FontWeight="bold")
ylabel('x(t)');
xlabel('t [s]')

```

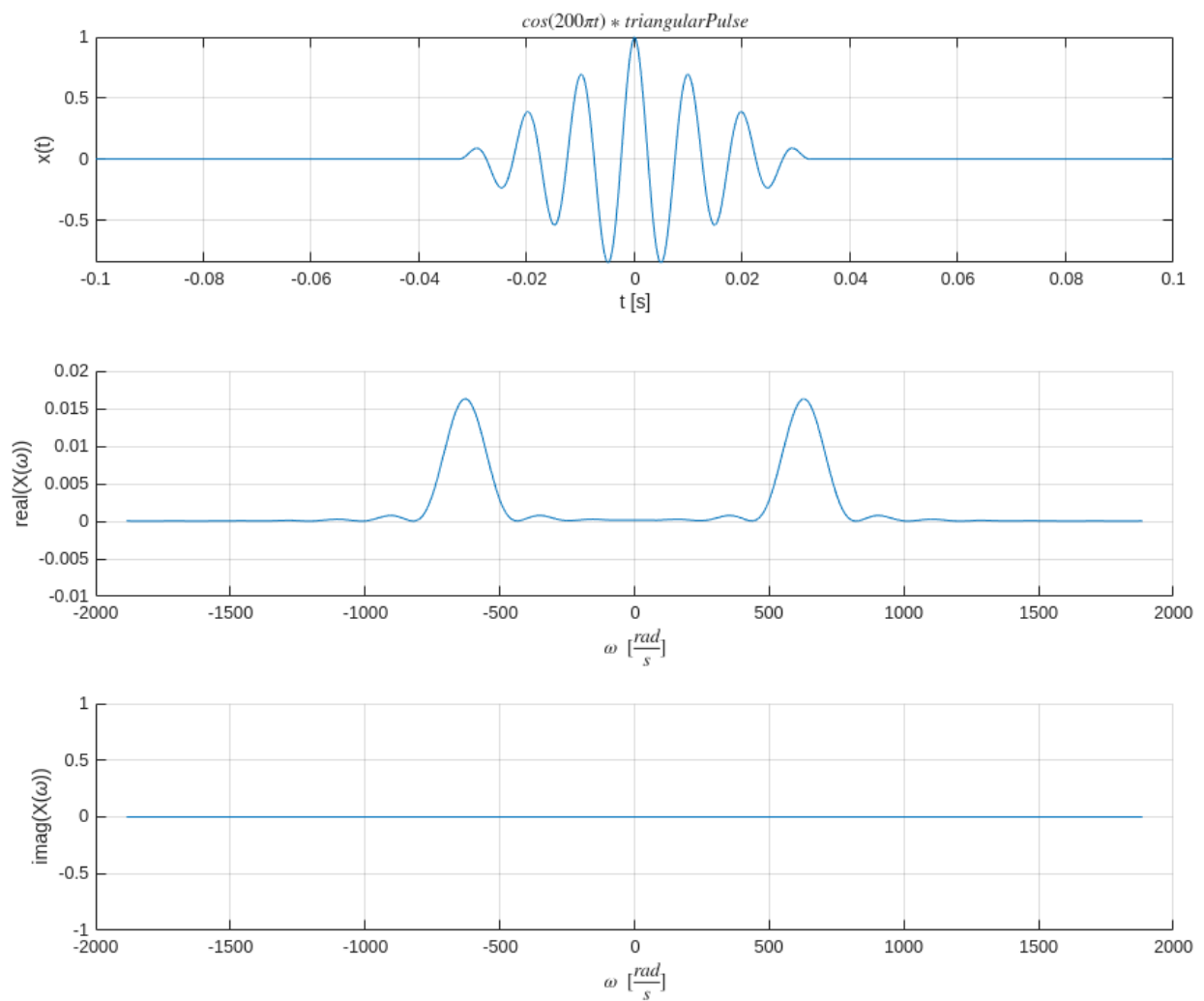
```

grid on

subplot(3,1,2);
ylabel('real(X(\omega))');
hold on
fplot(real(triang_FT), BND_w);
xlabel("$\omega \ [\frac{rad}{s}]$", Interpreter = "latex")
grid on;
axis([-2000 2000 -0.01 0.02])

subplot(3,1,3); ylabel('imag(X(\omega))'); hold on
fplot(imag(triang_FT), BND_w);
grid on
xlabel("$\omega \ [\frac{rad}{s}]$", Interpreter = "latex")

```



```

figure(Position=[100 100 1000 800])

subplot(3,1,1);
fplot(signal_gaus, BND_t);

```

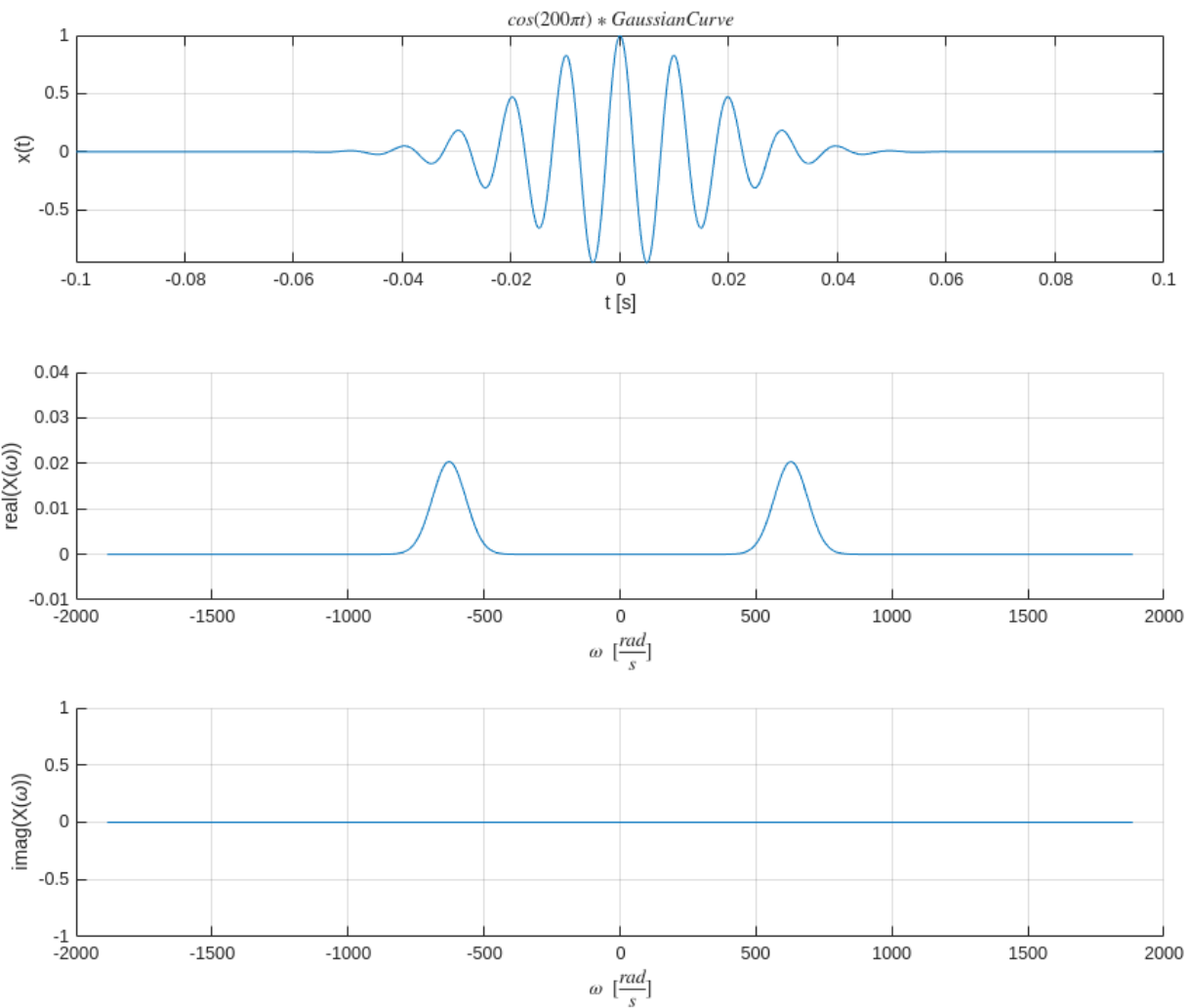
```

title("$\cos(200 \pi t) * Gaussian Curve$",Interpreter="latex",
FontWeight="bold")
ylabel('x(t)');
xlabel("t [s]")
grid on

subplot(3,1,2);
ylabel('real(X(\omega))');
hold on
fplot(real(gauss_FT), BND_w);
xlabel("$\omega \ [\frac{rad}{s}]$", Interpreter = "latex")
grid on;
axis([-2000 2000 -0.01 0.04])

subplot(3,1,3); ylabel('imag(X(\omega))'); hold on
fplot(imag(gauss_FT), BND_w);
grid on
xlabel("$\omega \ [\frac{rad}{s}]$", Interpreter = "latex")

```



Zadanie domowe 3

W ostatnim poleceniu celem było przeanalizowanie g sto ci widmowej amplitudy dla wcze niej przedstawionych sposobów "okienkowania" sygnału. Zbiórce wyniki przedstawiono poni ej na wykresie:

```
figure(Position =[100 100 1000 800])
subplot(2,2,1);
ylabel(' |X(\omega)| '); hold on
fplot(abs(X_cos), BND_w);
xlabel("$\omega \ [\frac{rad}{s}]$", Interpreter = "latex")
grid on;
title("G sto   widmowa amplitudy")
axis([-2000 2000 -0.01 0.01])
v_num = subs(abs(X_cos), w, w_SMP);
n = find( abs(v_num) == inf); % plot dirac (inf)
stem(w_SMP(n),sign(v_num(n)), 'r*', 'LineWidth', 2);
axis([-2000 2000 -0.5 1.2])
hold off

subplot(2,2,2)

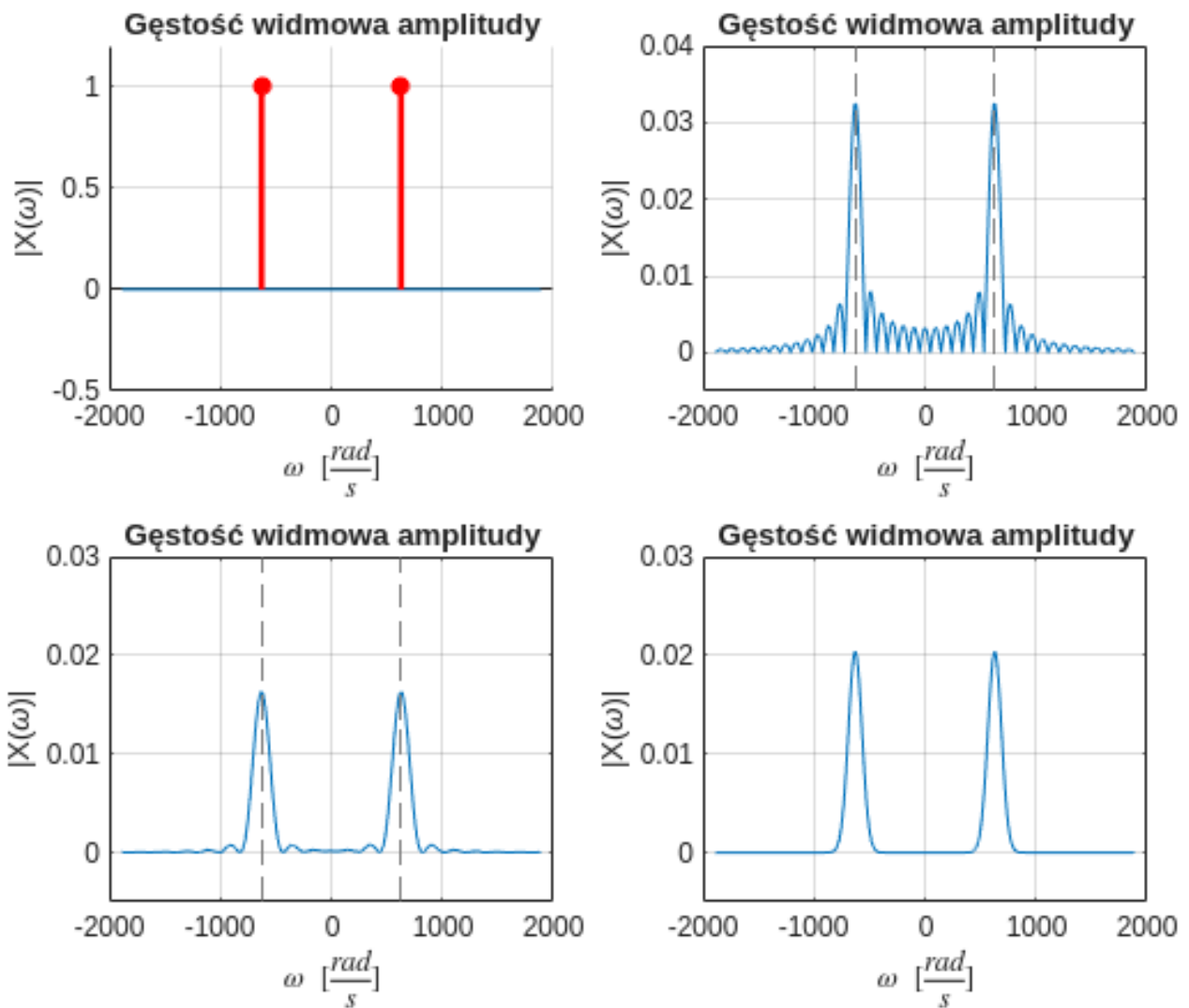
fplot(abs(rect_FT), BND_w);
ylabel(' |X(\omega)| ');
xlabel("$\omega \ [\frac{rad}{s}]$", Interpreter = "latex")
grid on;
title("G sto   widmowa amplitudy")
axis([-2000 2000 -0.005 0.04])

subplot(2,2,3)

fplot(abs(triang_FT), BND_w);
ylabel(' |X(\omega)| ');
xlabel("$\omega \ [\frac{rad}{s}]$", Interpreter = "latex")
grid on;
title("G sto   widmowa amplitudy")
axis([-2000 2000 -0.005 0.03])

subplot(2,2,4)

fplot(abs(gauss_FT), BND_w);
ylabel(' |X(\omega)| ');
xlabel("$\omega \ [\frac{rad}{s}]$", Interpreter = "latex")
grid on;
title("G sto   widmowa amplitudy")
axis([-2000 2000 -0.005 0.03])
```



Na podstawie analizy ostatnich dwóch ćwiczeń można stwierdzić, że pewne funkcje lepiej działają jako funkcje okna. Dobrym tego przykładem jest krzywa Gaussa, która nie wprowadza dodatkowych zakłóceń w gęstość widmową amplitudy, w przeciwieństwie do takich funkcji jak np. puls prostokątny. Widoczne zależności, że im gładziej jest funkcja okna tym mniejsze zakłócenia wprowadza. W praktyce jednak wybór odpowiedniej funkcji zależy od danej aplikacji, w której chcemy jej użyć, ponieważ ogromna ilość różnych sygnałów może reagować na sygnał wejściowy i rozciąganie ich na określonych długościach próbek.

Wnioski

Na laboratorium zapoznaliśmy się z kolejnymi elementami wprowadzającymi do przetwarzania sygnałów. Tym razem zajęliśmy się całkowym przekształceniem Fouriera i zdobyliśmy doświadczenie w odtwarzaniu i analizowaniu wykresów podstawowych funkcji. Oprócz tego na zajęciach poruszono temat modulacji, fundamentalnego sposobu przesyłu informacji przez różne media transmisyjne, bez którego ciłoby wspominać o nowych standardach telekomunikacji. Zajęcia kończyły się ćwiczeniami dotyczącymi okienkowania, które pozwala nam na przeprowadzanie badania szczególnych okresów sygnału, który posiadamy oraz eliminowania negatywnych skutków generowanych przez warunki brzegowe.